



食品科学

Food Science

ISSN 1002-6630,CN 11-2206/TS

《食品科学》网络首发论文

题目： 六个产地香椿主要活性成分及风味特征差异分析

作者： 张剑辉，张梦琪，蔡世佳，姜凯丽，马珞珞，马倩云，王颉，孙剑锋，王文秀

网络首发日期： 2022-09-29

引用格式： 张剑辉，张梦琪，蔡世佳，姜凯丽，马珞珞，马倩云，王颉，孙剑锋，王文秀. 六个产地香椿主要活性成分及风味特征差异分析[J/OL]. 食品科学.
<https://kns.cnki.net/kcms/detail/11.2206.TS.20220928.1250.006.html>



网络首发：在编辑部工作流程中，稿件从录用到出版要经历录用定稿、排版定稿、整期汇编定稿等阶段。录用定稿指内容已经确定，且通过同行评议、主编终审同意刊用的稿件。排版定稿指录用定稿按照期刊特定版式（包括网络呈现版式）排版后的稿件，可暂不确定出版年、卷、期和页码。整期汇编定稿指出版年、卷、期、页码均已确定的印刷或数字出版的整期汇编稿件。录用定稿网络首发稿件内容必须符合《出版管理条例》和《期刊出版管理规定》的有关规定；学术研究成果具有创新性、科学性和先进性，符合编辑部对刊文的录用要求，不存在学术不端行为及其他侵权行为；稿件内容应基本符合国家有关书刊编辑、出版的技术标准，正确使用和统一规范语言文字、符号、数字、外文字母、法定计量单位及地图标注等。为确保录用定稿网络首发的严肃性，录用定稿一经发布，不得修改论文题目、作者、机构名称和学术内容，只可基于编辑规范进行少量文字的修改。

出版确认：纸质期刊编辑部通过与《中国学术期刊（光盘版）》电子杂志社有限公司签约，在《中国学术期刊（网络版）》出版传播平台上创办与纸质期刊内容一致的网络版，以单篇或整期出版形式，在印刷出版之前刊发论文的录用定稿、排版定稿、整期汇编定稿。因为《中国学术期刊（网络版）》是国家新闻出版广电总局批准的网络连续型出版物（ISSN 2096-4188，CN 11-6037/Z），所以签约期刊的网络版上网络首发论文视为正式出版。

六个产地香椿主要活性成分及风味特征差异分析

张剑辉，张梦琪，蔡世佳，姜凯丽，马珞珞，马倩云，王颉，孙剑锋^{*}，王文秀^{*}

(河北农业大学食品科技学院，河北 保定 071000)

摘要：以四川、陕西、山东、山西、河北和云南六个产地的香椿为研究对象，探究不同产地香椿的主要活性成分和风味特征差异。利用感官评价对香椿的整体气味进行评价，基于电子鼻技术和气相色谱离子迁移谱（gas chromatography ion mobility spectrometry, GC-IMS）技术对六个产地的香椿进行挥发性成分的分析，研究不同产地香椿风味特征的差异。感官评价结果表明，云南香椿的气味浓郁宜人，陕西香椿具有刺激性气味。电子鼻分析结果表明，六个产地香椿的芳香类、长链烷烃类含量相近，氮氧化合物和硫化物含量存在较大差异。通过GC-IMS技术共鉴定出76种挥发性物质，主要包括醇类12种，酯类10种，吡嗪类9种，酮类9种，萜类化合物8种，有机硫化物7种，醛类7种，酸类6种，酚类4种以及其他类4种。电子鼻和GC-IMS技术的主成分分析结果表明，云南香椿风味较独特，四川、陕西和山东香椿的风味类似，山西香椿与其他产地香椿存在差异，河北香椿的风味物质含量低。本研究通过电子鼻结合GC-IMS技术直观地反映了产地对香椿风味的影响，为香椿深加工原料的筛选提供理论依据。

关键词：香椿；电子鼻；挥发性物质；气相色谱离子迁移谱；主成分分析

Analysis of the differences in the main active components and flavor characteristics of six origins of *Toona sinensis*

ZHANG Jianhui, ZHANG Mengqi, CAI Shijia, JIANG Kaili, MA Luoluo, MA Qianyun, WANG Jie,

SUN Jianfeng^{*}, WANG Wenxiu^{*}

(College of Food Science and Technology, Hebei Agricultural University, Baoding, 071000, China)

Abstract: The main active components and flavor characteristics of *Toona sinensis* in different origins were explored by taking *Toona sinensis* from six origins of Sichuan, Shaanxi, Shandong, Shanxi, Hebei and Yunnan as the research objects. The overall odor of *Toona sinensis* was evaluated by sensory evaluation, and the volatile components of *Toona sinensis* from six origins were analyzed based on electronic nose technology and gas chromatography ion mobility spectrometry (GC-IMS) technology to find differences in flavor profile. The sensory evaluation results showed that the odor of *Toona sinensis* in Yunnan was rich and pleasant, while the odor of *Toona sinensis* in Shaanxi was pungent. The results of electronic nose analysis showed that the contents of aromatics and long-chain alkanes of *Toona sinensis* in the six origins were similar, but the contents of nitrogen oxides and sulfides were quite different. A total of 76 volatile substances were identified by GC-IMS, including 12

基金项目：河北省“三三三人才工程”人才培养资助项目（A202005002）；河北省自然科学基金（C2020204166）；河北省高等学校青年基金项目（QN2019113）

第一作者简介：张剑辉（1996-）（ORCID:0000-0002-0183-0896），女，硕士研究生，研究方向为果蔬加工与贮藏。E-mail: zhangjianhui1212@163.com

*通信作者简介：孙剑锋（1979-）（ORCID: 0000-0002-8344-4891），男，教授，研究方向为食品加工技术。E-mail: causunjf@hebau.edu.cn

王文秀（1989-）（ORCID: 0000-0002-9268-3528），女，副教授，研究方向为食品快速无损检测技术及装备。E-mail: godlovexiu@163.com

alcohols, 10 esters, 9 pyrazines, 9 ketones, 8 terpenoids, 7 organic sulfides, 7 aldehydes, 6 acids, 4 phenols and 4 other species. The principal component analysis results of electronic nose and GC-IMS technology showed that the flavor of *Toona sinensis* in Yunnan was unique, and the flavors of *Toona sinensis* in Sichuan, Shaanxi and Shandong were similar. *Toona sinensis* in Shanxi is different from that in other origins, and the content of flavor substances in *Toona sinensis* from Hebei is low. With the electronic nose and GC-IMS technology, this paper intuitively reflected the influence of the origin on the flavor of *Toona sinensis*, and provided a theoretical basis for the screening of deep processing raw materials of *Toona sinensis*.

Keywords: *Toona sinensis*; electronic nose; volatile components; gas chromatography ion mobility spectrometry; principal component analysis

中图分类号: TS255.1 文献标志码: A

DOI: 10.7506/spkx1002-6630-20220608-082

香椿是一种常见的楝科植物，属于亚热带及温带树种，是我国独有的一种“树生菜”，食用和栽培历史已达两千余年^[1]。在山东、云南、陕西等地广泛栽培，种植过程中不需要农药驱虫^[2]，是一种绿色安全的蔬菜。香椿风味独特，富含黄酮、多酚和皂苷等多种生物活性成分，具有丰富的营养价值^[3,4]和抗炎、抗癌^[5]、抗氧化^[6]等保健功效。香椿风味受品种、地域和环境等多方面因素的影响^[7]，直接影响了香椿深加工产品的品质。因此，检测香椿的风味物质，辨别不同产地香椿的特征挥发性物质，对不同产地香椿风味的鉴别和深加工品种的选择具有重要意义。

电子鼻、气相色谱嗅闻和气相色谱-质谱联用技术是目前鉴别挥发性风味物质最常用的技术^[8-10]，在水果新鲜度分析^[11]和产地鉴别^[12, 13]等多种领域广泛应用。气相色谱离子迁移谱（gas chromatography ion mobility spectrometry, GC-IMS）是一种新型的风味检测技术，具有高选择性、高灵敏度和高分辨率等优点，目前已在茶叶^[14]、果蔬^[15]、生姜^[16]、酒类^[17]和肉类深加工^[18]等风味物质检测上有所应用，此外在食用油掺假^[19]、蜂蜜掺假^[20]、水产品鉴定^[21]、咖啡豆分级^[22]等方面也取得了一定的研究进展。然而，将GC-IMS技术用于不同产地香椿风味差异和特征分析的分析较少。

本研究选取四川、陕西、山东、山西、河北和云南六个产地的香椿为原料，测定主要活性成分黄酮、多酚和皂苷的含量，并对香椿的气味进行感官评价分析。采用电子鼻和GC-IMS技术对不同产地香椿的挥发性物质进行检测，同时结合主成分分析（principal component analysis, PCA）和指纹图谱技术进行统计分析，比较不同产地香椿的风味差异，构建不同产地香椿特征风味物质GC-IMS数据库，以鉴别不同产地香椿的特征风味物质，为香椿品质评价体系建立提供理论依据，为深加工选种提供参考。

1 材料与方法

1.1 材料与试剂

香椿均为红油香椿，树龄为3年，种植地光照充足，土壤肥沃，大面积种植，选自四川眉山、陕西渭南、山东烟台、山西运城、河北保定、云南昆明六个产地的头茬香椿，取6-9 cm的嫩芽，依次编号为1、2、3、4、5、6，真空包装后置于4℃冰箱中储存。于2022年4月1日取样，剪成小且均匀的叶片，加液氮后用组织研磨仪研磨得到待测定的香椿原料，置于-80℃冰箱中随用随取。

芦丁标准品（纯度为99.9%） 北京索莱宝生物科技有限公司；人参皂苷标准品 上海源叶生物科技有限公司；植物总酚含量试剂盒 南京碧波生物科技有限公司；高纯氮气（纯度≥99.999%） Chemtron 制氮机制备；20 mL顶空进样瓶 浙江欧尔赛斯科技有限公司；其他试剂均为分析纯。

1.2 仪器与设备

SB-5200DTD 超声波清洗机 宁波新芝生物科技股份有限公司；酶标仪 赛默飞世尔科技(中国)有限公司；研磨仪 IKA®A11 basic；电子鼻 德国 AIRSENSE 公司 PEN3 型；FlavourSpec®气相离子迁移谱联用仪 德国 G.A.S 公司；MXT-5 色谱柱 (15 m×0.53 mm, 0.53 μm) 美国 Restek 公司。

1.3 试验方法

1.3.1 主要活性成分测定

1.3.1.1 总黄酮含量测定

参照文献^[23]的方法从香椿中提取黄酮，参照文献^[24]的方法绘制黄酮标准曲线，横坐标 x 为芦丁溶液浓度，纵坐标 y 为吸光度。按照以下公式计算香椿中黄酮类化合物的含量 (mg/g)：

$$\text{总黄酮含量 (mg/g)} = \frac{x \times v_1}{w \times v_2} \quad (1)$$

式中 x 为根据标准曲线计算的稀释液中总黄酮的浓度, mg/mL; v_1 为提取液体积, mL; v_2 为选取的待测液的体积, mL; w 为新鲜香椿质量, (5.000±0.002) g。

1.3.1.2 植物总酚含量测定

参照植物总酚含量检测试剂盒测定，根据预实验结果稍作修改，将要求的吸取待测样品 50 μL 改为吸取 5 μL，总多酚含量由以下公式获得：

$$\text{总酚含量(mg/g)} = \frac{x \times v}{w} \times 10 \quad (2)$$

式中 x 为根据标准曲线计算的稀释液中总酚浓度, mg/mL; v 为提取液总体积, 2 mL, 10 为样品稀释倍数, w 为新鲜香椿质量, (0.100±0.002) g。

1.3.1.3 皂苷含量测定

采用香草醛-冰乙酸显色法测定^[25]，以人参皂苷作为标准品，横坐标 x 为人参皂苷质量浓度，纵坐标 y 为吸光度，制定标准曲线。按照以下公式计算香椿中皂苷含量 (mg/g)：

$$\text{皂苷含量(mg/g)} = \frac{m_1 \times v_2}{m_2 \times v_1} \quad (3)$$

式中 m_1 为根据标准曲线计算的样品测定液中皂苷的含量, mg/mL; v_2 为样品定容体积, mL; v_1 为比色测定样品种体积, mL; m_2 为新鲜香椿质量, (1.000±0.002) g。

以上指标测定时，每个样品重复测定三次，用平均值±标准差表示，计算结果保留至小数点后两位。

1.3.2 感官评价

香椿的嗅觉评审标准，如表 1 所示。评审小组由 10 位专业人士构成，在无异气息的感官品评室内进行，总分为 10 分，取平均值。

表 1 香椿感官评价标准

Table 1 Sensory evaluation criteria of *Toona sinensis*

气味评价标准	分值/(分)
香气浓郁持久	8-10
香气不高不低	6-8
香气较低，无杂异味	4-6
香气低微，无杂异味	2-4

1.3.3 电子鼻分析

采用德国 AIRSENSE 公司 PEN3 型电子鼻进行测定分析，该电子鼻包括 10 个传感器，具体性能描述见表 2。将新鲜的香椿叶剪成小块，取 2 g 置于 100 mL 烧杯中，双层保鲜膜封口，放置 30 min 后进行测定。

测定条件：采样时间为 1 s/组，传感器自清洗时间为 80 s，归零时间为 5 s；样品准备时间为 5 s；进样流量为 400 mL/min；分析采样时间为 80 s，每个样品做 3 个平行实验。

表 2 电子鼻传感器性能

Table2 Electronic nose sensor performance

阵列序号	传感器名称	传感器敏感性能描述
1	W1C	芳香成分，苯类
2	W5S	灵敏度大，对氮氧化合物很灵敏
3	W3C	氨水，对芳香成分敏感
4	W6S	主要对氢气有选择性
5	W5C	烷烃类芳香成分敏感
6	W1S	对甲烷等短链烷烃灵敏
7	W1W	对无机硫化物灵敏
8	W2S	对醇醚醛酮类灵敏
9	W2W	芳香成分，对有机硫化物灵敏
10	W3S	对长链烷烃类成分灵敏

1.3.4 GC-IMS 分析

准确称取 1.1 中六个产地的香椿(2.000 ± 0.005) g，置于 20 mL 顶空进样瓶中，封口，利用 GC-IMS 进行测定，每组重复三次。

顶空进样条件：孵育温度：40°C，孵育时间：10 min，孵化转速：500 r/min，进样针温度 85°C，进样量 300 μ L。

GC 条件：色谱柱 FS-SE-54-CB-1 柱，柱温 60°C，分析时间 30 min，载气：高纯氮气（纯度≥99.999%），流速：初始为 2 mL/min，保持 2 min，2~20 min 线性增至 100 mL/min，保持 20 min。

IMS 条件：漂移管温度 45°C，漂移气：高纯氮气，漂移流速 150 mL/min，IMS 检测器温度 45°C。

1.4 数据分析

利用 Origin2021 和 SPSS25.0 对六个产地香椿的主要活性成分进行分析；利用 WinMuster1.6.2.18 进行 PCA；利用 Flavour Spec® 风味分析仪内置的 NIST 数据库和 IMS 数据库对挥发性气体物质进行定性分析；利用 Gallery Plot 插件进行指纹图谱对比，用于比较不同产地香椿的挥发性物质差异；利用 SIMCA14.1 进行 PCA。

2 结果与分析

2.1 不同产地香椿活性成分分析

2.1.1 活性成分标准曲线建立

分别以芦丁、没食子酸和人参皂苷为标准品，绘制了香椿中黄酮、总酚和皂苷含量的标准曲线，线性回归方程如表 3 所示，表中决定系数均大于 0.99，表明线性良好。

表 3 活性成分线性回归方程

Table3 Linear regression equation of active ingredients

活性成分	标准品	线性方程	R ²	线性范围/(mg/mL)
总黄酮	芦丁	$y=5.6229x+0.0098$	0.9963	0.0360-0.0525
总酚	没食子酸	$y=2.796x-0.0049$	0.9968	0.0387-0.0608
皂苷	人参皂苷	$y=2.0896x+0.0891$	0.9919	0.0090-0.6092

2.1.2 活性成分含量分析

根据 1.3.1 中活性成分的测定方法，分析六个产地香椿的主要活性成分含量，如表 4 所示。可以发现，云南昆明产区香椿的总黄酮、总酚和皂苷含量最高。这可能是由于，植物活性成分的合成受光照、温度、水分等因素影响^[26]，适当的自然光照有利于黄酮类化合物的合成^[27]，3-4 月份云南的光照适宜，因而有利于黄酮类化合物的合成。酚类物质的合成受环境因素影响较大，云南昆明产区香椿的总酚含量较高，不仅受光照等影响，还与云南昆明的环境污染较少，有利于酚类的合成有关。此外，适宜光照有利于皂苷的合成^[28]，云南昆明的气候为有利于香椿的生长和皂苷的积累。香椿的抗氧化活性和黄酮、多酚和皂苷呈正相关^[29]，因此，在研发抗氧化产品时首选云南香椿。

表 4 不同产地香椿活性成分含量

Table4 Contents of active components in *Toona sinensis* from different habitats

香椿产地	总黄酮/(mg/g)	总酚/(mg/g)	皂苷/(mg/g)
四川眉山	4.71±0.44 ^b	76.70±2.43 ^c	33.81±0.10 ^c
陕西渭南	5.13±0.36 ^b	61.05±0.42 ^d	46.96±0.18 ^b
山东烟台	3.62±0.03 ^c	36.33±0.61 ^c	32.35±0.19 ^d
山西运城	4.02±0.01 ^c	63.15±0.73 ^d	30.80±0.25 ^e
河北保定	4.02±0.23 ^c	79.22±0.80 ^b	23.57±0.24 ^f
云南昆明	5.95±0.19 ^a	101.08±0.52 ^a	51.31±0.22 ^a

注：以上数据根据不同产地香椿的含水率折算成干物质后计算所得；不同字母表示差异显著（P<0.05）。

2.1.3 感官评价结果分析

香椿感官评分结果如表 5 所示，试验结果表明，云南昆明产地的香椿感官评分最高，为 9.39 分，具有浓郁的芳香和青草的香味，陕西香椿的气味偏高，有刺鼻的味道，能够明显区分。四川和山东产地的香椿风味较温和，山西香椿气味偏低，但是有宜人的香甜味，河北产地的香椿评分最低，气味不浓郁。

表 5 不同产地香椿感官评分结果

Table5 Sensory evaluation results of *Toona sinensis* from different habitats

产地	气味描述	嗅觉评分
----	------	------

四川眉山	香气不高不低，有温和的果香	7.95
陕西渭南	香气不高不低，气味持久且刺鼻	8.17
山东烟台	香气不高不低，轻微的青草味	6.94
山西运城	香气较低，有宜人的香甜味	5.29
河北保定	香气低微，轻微的甜香	3.62
云南昆明	香气浓郁，有芳香味和青草味	9.39

2.2 电子鼻结果分析

2.2.1 电子鼻传感器响应值分析

利用电子鼻对香椿的挥发性物质进行分析，结果如图 1 所示。W1W 代表的无机硫化物响应值最大，表明香椿中无机硫化物的含量较高。六个产地香椿的 W1C、W3C、W6S、W5C 和 W3S 传感器响应值几乎重叠，表明芳香类、长链烷烃类含量相近，W5S、W1W、W2W 传感器的响应值差异明显，表明各产地香椿的氮氧化合物和硫化物含量存在较大差异。对于云南昆明香椿，除 W5S 传感器响应值以外，其他响应值均大于其他五个产地的香椿，表明云南产地香椿的气味最浓郁。其中，W1S、W1W、W2W 传感器的响应值显著高于其他产地香椿，表明云南昆明产地香椿的短链烷烃类、无机硫化物、有机硫化物含量较高。河北保定香椿的响应值均偏低，表明河北保定产地香椿的风味物质含量最低。可能是由于，4 月份河北的温度较低，不利于风味物质的合成，挥发性风味物质含量较少。

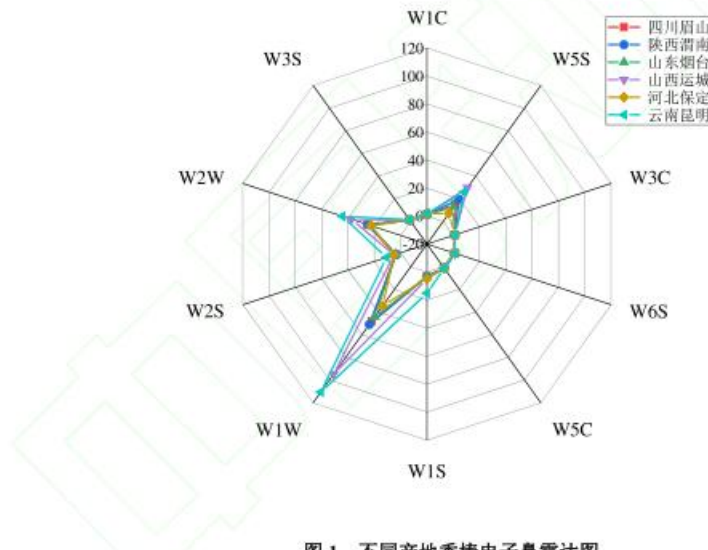


图 1 不同产地香椿电子鼻雷达图

Fig. 1 Radar chart of electronic nose data in *Toona sinensis* from different producing areas

2.2.2 不同产地香椿挥发性物质的 PCA

PCA 能够更加直观地反映香椿挥发性风味物质和产地之间的整体关系，选取测试稳定后第 70、71 和 72 s 的数据进行 PCA 分析。由图 2 可知，第一主成分的贡献率为 98.24%，第二主成分贡献率为 1.57%，累计贡献率为 99.81%，表明可以有效的反映原始数据的整体信息。图中同一样品的距离较近，表明实验的重复性和稳定性较高。利用电子鼻技术能够对不同产地香椿的风味物质进行明显区分，四川、陕西和山东的距离较近，表明三个产地香椿的风味类似。山西香椿与其他产地香椿存在明显差异，河北香椿风味物质含量最低，云南香椿的风味较为浓郁。上述分析表明，产地对香椿风味的影响较大。

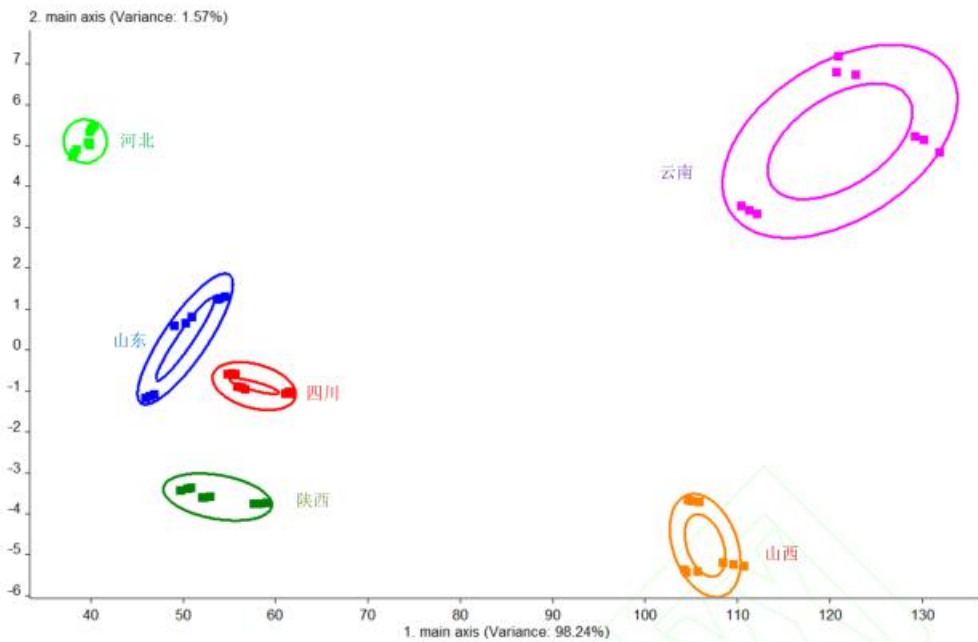


图 2 不同产地香椿电子鼻 PCA 图

Fig. 2 Principal component analysis diagram of electronic nose data in *Toona sinensis* from different producing areas

2.3 基于 GC-IMS 分析不同产地香椿的挥发性物质

2.3.1 不同产地香椿挥发性物质定性和定量分析

利用 GC-IMS 技术检测了不同产地香椿的挥发性物质，主要信息如表 6 所示。分析发现，香椿中大多数挥发性物质的迁移时间在 1.0-1.9 ms 之间，保留时间为 130-1700 s 之间。结合 GC-IMS 数据文库，共鉴定出 10 类 76 种挥发性物质，主要为 C₄-C₁₂ 的小分子挥发性物质，包括醇类 12 种，酯类 10 种，吡嗪类 9 种，酮类 9 种，萜类化合物 8 种，有机硫化物 7 种，醛类 7 种，酸类 6 种，酚类 4 种以及其他类 4 种。其中，吡嗪类物质和醇类物质含量较高，但有研究表明，噻吩是香椿的主要挥发性成分^[30]，与本文的结论不同，可能是由于采摘期不同或者采摘后包装方式不同造成的。

醇类物质主要由分解代谢产生，苯甲醇具有芳香味，在四川香椿中的相对含量最高，云南香椿中的含量最低。醇类在香椿挥发性物质中的相对含量虽然高，但是由于阈值一般较高，因此对风味的贡献较小。酯类物质通过酯化反应获得，在山东香椿中相对含量仅为 4.62%，而在云南香椿中高达 22.89%。主要是乙酯类化合物，包括异戊酸乙酯、乙酸乙酯、丙酸乙酯和乳酸乙酯，具有花香、果香和酒香。吡嗪类化合物是美拉德反应的专一性化合物^[31]，阈值较低，具有浓郁的烘焙香^[32]、坚果香和咖啡香，对产品的香气起重要作用。吡嗪类物质在陕西香椿中占比最高，相对含量达 26.53%，其中 2-乙基吡嗪和 2-乙酰基吡嗪具有烘烤香气，使香椿具有刺鼻的气味。酮类物质一般是由酯类分解和醇类氧化获得，在各产地香椿中的相对含量差异较小。其中，四川香椿的酮类挥发性物质占比最高，主要是仲辛酮和 6-甲基-5-庚烯-2-酮，具有焦香和类似牛奶、乳酪、蘑菇的香气^[33]。萜类化合物主要包括罗勒烯、香茅醇和芳樟醇等，在山西香椿中的相对含量最高。其中罗勒烯具有香甜味，香茅醇具有玫瑰花香，芳樟醇具有浓香带甜的木青气息，香气柔和诱人。由此可见，萜类化合物是香椿具有宜人香味的重要原因。有机硫化物是香椿风味的主要贡献者^[34]，在云南香椿中的含量最高。其中，二丁基硫醚具有熟肉香气^[35]，二烯丙基二硫醚、烯丙基甲基硫醚、2,5-二甲基噻吩和 3,4-二甲基噻吩在大蒜中也存在^[36]，因此香椿中呈现出与大蒜相似的辛辣、刺激味，这与孙晓健^[37]关于有机硫化物对香椿风味的分析结果一致。醛类化合物一般具有青草香气^[38]，在云南香椿中的含量最高，其中 2-甲基丁醛具有坚果香，异丁醛和 2-甲基丁醛具有麦芽香和黑巧克力的香味。云南香椿中的酯类、有机硫化物和醛类含量最高，风味最浓郁，这与感官评价和电子鼻评价结果相吻合。酸类物质阈值高，且在香椿中的

相对含量较低，对整体风味贡献较小，在河北香椿中的含量最高。酚类物质在山东香椿中的含量最高，其中，愈创木酚是烟熏产品的特征风味物质，具有烟草香味。香椿中多种挥发性物质之间的重叠使其具有独特的风味，相对含量的差异是各产地香椿具有不同风味的原因。

2.3.2 不同产地香椿挥发性物质指纹图谱分析

为了更好的观察不同产地香椿挥发性物质种类和含量的差异，利用 LAV 软件的 Gallery Plot 插件选取所有峰进行指纹图谱对比，结果如图 3 所示。图中颜色的深浅直观的表示了挥发性物质的含量多少，红色代表浓度较高，黄色、白色、浅蓝色依次代表浓度变低。右侧是样品编号，每个样品做三个平行。

从指纹图谱可以发现，不同产地香椿的挥发性物质含量存在明显差异。在图中能够快速找出各个产地的特征挥发性物质，四川香椿中的特征挥发性物质包括顺式-3-辛烯-1-醇、苯甲醇、己酸、5-甲基-2-呋喃甲醇、丙二醇、乙二醇二甲醚。陕西香椿中的特征挥发性物质包括 2-甲基丁酸甲酯、异戊醛、羟基丙酮。山东香椿中的特征挥发性物质包括 2-丁酮。山西香椿中的特征挥发性物质包括芳樟醇和异戊酸乙酯。河北香椿中的特征挥发性物质是丁酸戊酯。云南香椿中的特征挥发性物质包括呋喃酮、罗勒烯、6-甲基-5-庚烯-2-酮、反式-3-己烯-1-醇、2-甲基丁醛、2,3-戊二酮、4-甲基-2-戊醇、2,6-二甲基吡嗪、2-乙酰基噻唑、香茅醇、烯丙基二硫化物、松油烯、二烯丙基二硫、二乙基二硫醚、二丁基硫醚、2,6-二甲基吡嗪、2-甲基-3-(2-甲基丙基)吡嗪、2,5-二甲基吡嗪、2-乙酰基吡嗪和 2-庚基呋喃等。

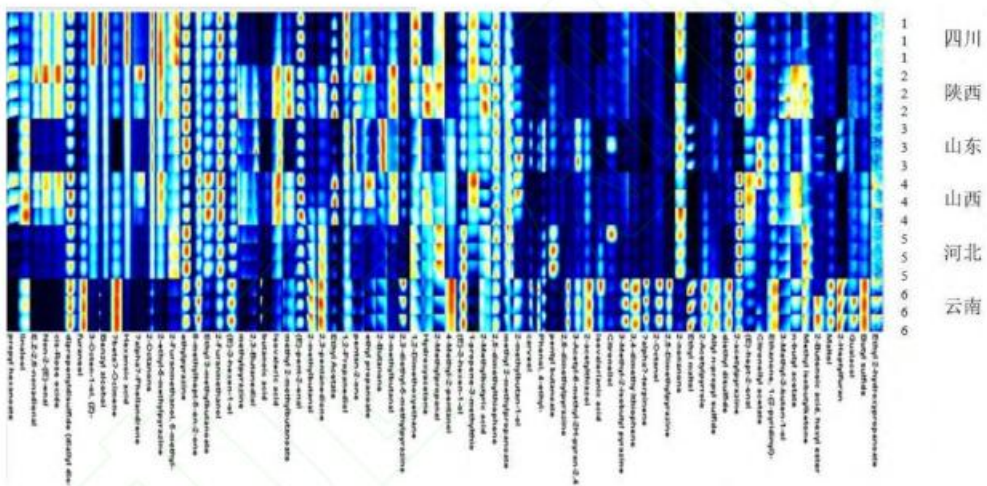


图 3 六个产地香椿挥发性物质指纹图谱

Fig.3 Fingerprint of volatile substances in *Toona sinensis* from six producing areas

2.3.3 不同产地香椿挥发性风味物质 PCA 分析

PCA 是考察多个变量间相关性的一种统计方法，尽可能的保留原始数据，更加直观、简单的反映数据的信息。由图 4 可以看出，PC1 的贡献率为 55.8%，PC2 的贡献率为 21.1%，累计贡献率达 76.9%，能够很好的反映整体信息。各组样品的平行之间有重叠或距离较近，说明样品检测的重复性较好，各产地样品之间存在距离，说明六个产地的香椿能通过 GC-IMS 技术进行区分。四川、陕西和山东的风味类似，这与电子鼻分析结果一致。

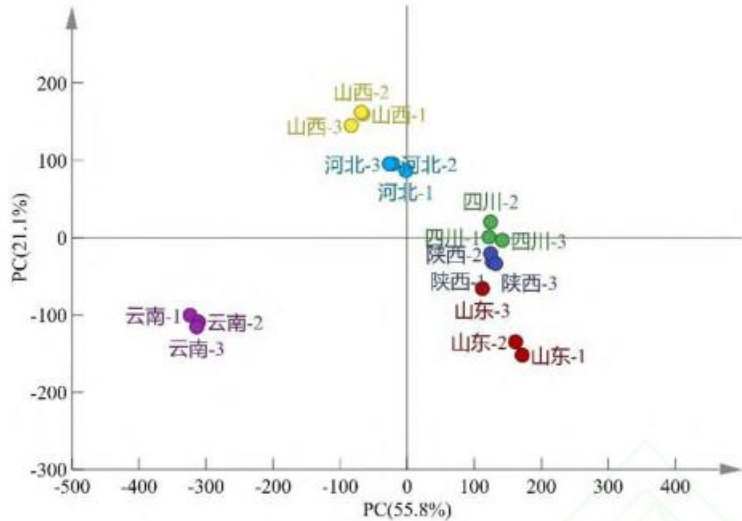


图 4 不同产地香椿主成分分析图

Fig.4 Principal component analysis of *Toona sinensis* from different habitats

3 结论

本研究比较了六个产地香椿的活性成分，并应用感官评价、电子鼻技术和 GC-IMS 技术对风味物质进行比较。云南的气候有利于黄酮、多酚和皂苷的合成，因此，云南香椿的主要活性成分含量最高。感官评分和电子鼻分析结果均表明，云南香椿的风味较浓郁。电子鼻的雷达图分析发现云南香椿的短链烷烃类、无机硫化物、醇类、有机硫化物含量较高。四川、陕西和山东产地的香椿的整体气味较类似，山西香椿与其他产地香椿风味存在明显差异，河北香椿的挥发性物质含量最低，云南香椿的挥发性物质含量最高，气味最浓郁。

GC-IMS 技术鉴定出 76 个挥发性物质，主要是 C₄-C₁₂ 的小分子挥发性物质，包括醇类、酯类、吡嗪类、萜类和有机硫化物等 10 种化合物。云南香椿中酯类、有机硫化物和醛类含量最高，四川香椿中的醇类含量最高，陕西香椿中吡嗪类物质含量最高，山东香椿中酚类含量最高，山西香椿中的萜类化合物含量最高，河北香椿中酸类含量最高。

利用电子鼻和 GC-IMS 技术相结合，分析发现四川、陕西、山东、山西、河北和云南地区香椿的风味差异明显，在挥发性物质含量上有各自的特征。在今后的研究中应扩大香椿来源，建立不同产地香椿挥发性物质数据库，为香椿深加工提供理论依据和数据支撑。

表6 不同产地香椿挥发性物质及其含量

Table6 Volatile components and content of *Toona sinensis* from different producing areas

序号	英文名称	中文名称	CAS号	化学式	保留时间/s	迁移时间/s	相对含量/%			
							四川	陕西	山东	山西
1	Propyl hexanoate	己酸丙酯	C626777	C ₉ H ₁₈ O ₂	746.299	1.87259	10.90±0.29	14.04±2.28	0.78±0.09	5.66±2.84
2	Linoleol	芳樟醇	C78706	C ₁₀ H ₁₈ O	790.174	1.21585	0.16±0.02	0.22±0.02	0.34±0.00	0.35±0.03
3	(E)-Z-2,6-nonadienal	反-2-,顺-6-壬二烯醛	C557482	C ₉ H ₁₆ O	826.627	1.38345	0.96±0.05	0.98±0.16	0.19±0.02	0.44±0.17
4	Non-2-(E)enal	反式-2-壬醛	C18829566	C ₉ H ₁₆ O	810.261	1.3918	0.24±0.02	0.26±0.04	0.04±0.01	0.12±0.05
5	Cis-Rose oxide	(2S-顺)-四氢化-4-甲基-2-(2-甲基-1-丙烯基)-2H-吡喃	C3033236	C ₁₀ H ₁₈ O	800.47	1.38756	0.22±0.01	0.26±0.04	0.04±0.00	0.11±0.04
6	Dipropenyl disulfide (diallyl disulfide)	二烯丙基二硫	C2179579	C ₆ H ₁₀ S ₂	688.078	1.21745	0.94±0.01	0.93±0.02	0.74±0.03	0.85±0.04
7	Furanol	呋喃酮	C3658773	C ₄ H ₆ O ₃	655.29	1.21214	0.75±0.02	0.85±0.04	0.39±0.01	0.64±0.06
8	3-Octen-1-ol-(Z)-	顺式-3-辛烯-1-醇	C20125842	C ₈ H ₁₆ O	633.153	1.31801	0.89±0.01	0.53±0.03	0.55±0.05	0.51±0.03
9	Benzyl alcohol	苯甲醇	C100516	C ₇ H ₈ O	592.248	1.32764	3.82±0.02	2.41±0.04	2.76±0.12	2.56±0.03
10	(E) beta-Ocimene	罗勒烯	C13877913	C ₁₀ H ₁₆	558.561	1.67412	1.16±0.06	1.35±0.09	0.17±0.01	0.68±0.09
11	Hexanoic acid	己酸	C142621	C ₆ H ₁₂ O ₂	538.906	1.31953	1.86±0.03	1.07±0.03	1.24±0.08	1.15±0.02
12	Alpha-Phellandrene	木芥烯	C99832	C ₁₀ H ₁₆	528.834	1.68075	0.13±0.00	0.4±0.11	0.07±0.01	0.20±0.11
13	2-Octanone	仲辛酮	C111137	C ₈ H ₁₆ O	491.065	1.32428	4.69±0.07	3.79±0.05	4.37±0.16	4.10±0.08
14	2-ethyl-5-methylpyrazine	2-乙基-5-甲基吡嗪	C13360640	C ₇ H ₁₀ N ₂	482.412	1.64687	1.46±0.08	1.33±0.02	1.00±0.05	1.06±0.01

15	2-Furannmethanol,5-methyl-	5-甲基-2-呋喃甲醇	C3857258	C ₆ H ₈ O ₂	449.038	1.56722	3.00±0.32	2.50±0.16	2.51±0.13	2.30±0.16	2.18±0.05	2.21±0.12
16	Ethyl pyrazine	2-乙基吡嗪	C13925003	C ₆ H ₈ N ₂	394.032	1.51146	18.54±0.64	18.44±1.42	21.61±0.88	17.66±2.07	14.84±0.37	13.28±0.12
17	6-methylhept-5-en-2-one	6-甲基-5-庚烯-2-酮	C110930	C ₈ H ₁₄ O	400.83	1.17692	4.83±0.27	3.48±0.33	3.52±0.23	3.78±0.14	4.12±0.11	4.20±0.26
18	Ethyl 3-methylbutanoate	异戊酸乙酯	C108645	C ₇ H ₁₄ O ₂	290.201	1.67873	1.55±0.14	1.10±0.01	1.24±0.08	1.57±0.03	1.85±0.10	2.18±0.04
19	2-Furannmethanol	糠醇	C98000	C ₅ H ₈ O ₂	291.437	1.3641	3.86±0.11	2.49±0.07	3.10±0.02	3.24±0.03	3.39±0.13	3.51±0.06
20	(E)-3-hexen-1-ol	反式-3-己烯-1-醇	C928972	C ₆ H ₁₂ O	309.482	1.25746	1.73±0.07	1.13±0.03	1.62±0.08	1.36±0.09	1.19±0.06	1.03±0.03
21	Methylpyrazine	2-甲基吡嗪	C109080	C ₅ H ₈ N ₂	275.432	1.39261	0.33±0.01	1.12±0.16	0.56±0.08	0.63±0.18	0.77±0.12	1.04±0.02
22	2,3-Butanediol	2,3-丁二醇	C513859	C ₄ H ₁₀ O ₂	260.253	1.34888	0.37±0.05	1.71±0.35	1.87±0.17	1.61±0.20	1.30±0.07	1.21±0.06
23	Butanoic acid	丁酸	C107926	C ₄ H ₈ O ₂	231.598	1.4003	0.47±0.03	0.82±0.12	0.27±0.02	0.58±0.10	0.91±0.06	1.15±0.03
24	Isovaleric acid	异戊酸	C503742	C ₅ H ₁₀ O ₂	276.143	1.23797	0.44±0.04	0.51±0.04	0.52±0.02	0.54±0.05	0.57±0.02	0.56±0.01
25	Methyl2-methylbutanoate	2-甲基丁酸甲酯	C866575	C ₆ H ₁₂ O ₂	224.564	1.20477	0.12±0.01	0.25±0.02	0.04±0.00	0.09±0.00	0.14±0.02	0.20±0.01
26	(E)-pent-2-enal	反式-2-戊烯醛	C1576870	C ₅ H ₈ O	195.962	1.35972	7.79±0.22	6.14±0.30	6.15±0.46	6.22±0.63	6.69±0.12	7.65±0.07
27	2-methylbutanal	2-甲基丁醛	C96173	C ₅ H ₁₀ O	170.172	1.41137	0.53±0.06	1.67±0.36	0.87±0.01	0.91±0.63	1.11±0.27	1.65±0.05
28	2,3-pentandione	2,3-戊二酮	C600146	C ₅ H ₈ O ₂	171.11	1.31914	0.24±0.06	0.96±0.21	0.27±0.00	0.27±0.23	0.30±0.07	0.47±0.03
29	Ethyl Acetate	乙酸乙酯	C141786	C ₄ H ₈ O ₂	150.01	1.34496	3.58±0.36	5.95±0.51	0.95±0.19	2.91±0.63	4.76±0.16	6.17±0.15
30	1,2-Propanediol	丙二醇	C57556	C ₃ H ₆ O ₂	199.244	1.11622	1.29±0.06	0.58±0.05	1.01±0.06	0.95±0.08	0.91±0.01	0.82±0.01
31	Pentan-2-one	2-戊酮	C107879	C ₅ H ₁₀ O	158.948	1.13334	0.14±0.01	0.32±0.03	0.25±0.01	0.24±0.01	0.24±0.01	0.24±0.01
32	Ethyl propanoate	丙酸乙酯	C105373	C ₅ H ₁₀ O ₂	181.57	1.13044	0.12±0.02	0.09±0.03	0.07±0.01	0.10±0.05	0.12±0.00	0.12±0.00
33	2-Butanone	2-丁酮	C78933	C ₄ H ₈ O	133.792	1.24377	0.7±0.03	0.54±0.02	2.07±0.06	1.64±0.09	1.26±0.00	0.81±0.04
34	3-methylbutanal	异戊醛	C590863	C ₅ H ₁₀ O	155.871	1.20308	0.18±0.01	0.24±0.02	0.04±0.00	0.10±0.01	0.16±0.01	0.21±0.01
35	2,3-diethyl-5-methylpyrazine	2,3-二乙基-5-甲基吡嗪	C18138040	C ₉ H ₁₄ N ₂	891.248	1.2594	0.23±0.01	0.27±0.01	0.43±0.02	0.45±0.02	0.5±0.00	0.52±0.04
36	1,2-Dimethoxyethane	乙二醇二甲醚	C110714	C ₄ H ₁₀ O ₂	155.401	1.09337	0.25±0.00	0.21±0.01	0.19±0.01	0.18±0.01	0.17±0.01	0.16±0.01

37	Hydroxy acetone	羟基丙酮	C116096	C ₃ H ₆ O ₂	184.054	1.25318	0.09±0.02	0.37±0.04	0.11±0.01	0.18±0.03	0.25±0.01	0.30±0.00
38	2-Methylpropanal	异丁醛	C78842	C ₄ H ₈ O	136	1.0952	0.11±0.01	0.12±0.01	0.08±0.01	0.08±0.00	0.09±0.00	0.09±0.00
39	4-Methyl-2-pentanol	4-甲基-2-戊醇	C108112	C ₆ H ₁₄ O	217.325	1.29619	0.18±0.03	0.27±0.04	0.89±0.03	0.92±0.05	0.91±0.05	0.88±0.09
40	(E)-3-hexen-1-ol	反式-3-己烯-1-醇	C928972	C ₆ H ₁₂ O	303.229	1.54953	4.12±0.28	3.01±0.33	3.71±0.18	2.71±0.43	1.91±0.23	1.38±0.07
41	1-propene-3-methylthio	烯丙基甲基硫醚	C10152768	C ₄ H ₈ S	181.777	1.03696	0.38±0.02	0.32±0.06	0.22±0.01	0.30±0.07	0.35±0.02	0.37±0.01
42	2-Methylbutyricacid	2-甲基丁酸	C116530	C ₅ H ₁₀ O ₂	300.832	1.47508	0.47±0.01	0.59±0.06	0.51±0.02	0.47±0.07	0.46±0.01	0.49±0.02
43	2,5-dimethylthiophene	2,5-二甲基噻吩	C638028	C ₆ H ₈ S	292.842	1.05414	1.76±0.11	1.42±0.12	1.55±0.08	1.39±0.07	1.30±0.06	1.13±0.01
44	Methyl(2-methylpropanoate	异丁酸甲酯	C547637	C ₅ H ₁₀ O ₂	172.988	1.6009	0.46±0.02	0.47±0.04	0.54±0.03	0.48±0.07	0.46±0.02	0.46±0.01
45	2-methylbutan-1-ol	2-甲基丁醇	C137326	C ₅ H ₁₂ O	206.148	1.47794	0.05±0.01	0.15±0.02	0.27±0.07	0.31±0.07	0.34±0.01	0.29±0.02
46	Carveol	香芹醇	C99489	C ₁₀ H ₁₆ O	1024.826	1.19942	0.59±0.04	0.59±0.17	2.02±0.03	1.57±0.14	1.08±0.16	0.68±0.29
47	Phenol,4-ethyl-	4-乙基苯酚	C123079	C ₈ H ₁₀ O	921.905	1.20542	0.73±0.15	0.90±0.17	7.77±0.22	5.47±0.28	3.35±0.41	1.31±0.02
48	Pentyl butanoate	丁酸戊酯	C540181	C ₉ H ₁₈ O ₂	680.085	1.39486	0.1±0.01	0.17±0.03	0.22±0.01	0.18±0.01	0.13±0.06	0.10±0.01
49	2,6-dimethylpyrazine	2,6-二甲基吡嗪	C108509	C ₆ H ₈ N ₂	353.611	1.14139	0.21±0.01	0.42±0.03	0.86±0.02	0.70±0.02	0.57±0.05	0.42±0.01
50	3-Acetyl-6-methyl-2H-pyran-2- ,4(³ H)-dione	脱氢乙酸	C520456	C ₈ H ₈ O ₄	1620.451	1.26539	0.36±0.07	0.34±0.06	1.09±0.08	0.86±0.02	0.62±0.04	0.33±0.07
51	2-acetylthiazol	2-乙酰基噻唑	C24295032	C ₄ H ₅ NOS	507.57	1.11918	0.15±0.01	0.14±0.01	0.41±0.03	0.38±0.03	0.37±0.01	0.34±0.02
52	Isovaleric acid	异戊酸	C503742	C ₅ H ₁₀ O ₂	330.599	1.20567	0.07±0.00	0.14±0.00	0.05±0.01	0.08±0.01	0.11±0.09	0.13±0.19
53	Citronellol	香茅醇	C106229	C ₁₀ H ₂₀ O	1064.242	1.81713	0.31±0.01	0.32±0.04	0.49±0.26	0.52±0.04	0.33±0.44	0.33±0.03
54	3-Methyl-2-isobutylpyrazine	2-甲基-3-(2-甲基丙基)吡嗪	C13925069	C ₉ H ₁₄ N ₂	752.756	1.28857	0.33±0.01	0.26±0.03	0.13±0.01	0.17±0.03	0.2±0.00	0.23±0.00
55	3,4-dimethylthiophene	3,4-二甲基噻吩	C632155	C ₆ H ₈ S	656.562	1.63386	0.29±0.01	0.17±0.00	0.14±0.01	0.14±0.00	0.14±0.01	0.16±0.01
56	Alpha-terpinene	松油烯	C99865	C ₁₀ H ₁₆	594.273	1.21369	0.59±0.03	0.30±0.01	0.14±0.02	0.20±0.03	0.30±0.03	0.38±0.01
57	2-Octanol	仲辛醇	C123966	C ₈ H ₁₈ O	505.176	1.47578	0.08±0.00	0.09±0.01	0.12±0.00	0.12±0.00	0.12±0.00	0.12±0.01

58	2,5-Dimethylpyrazine	2,5-二甲基吡嗪	C123320	C ₆ H ₈ N ₂	349.059	1.49242	0.08±0.01	0.11±0.01	0.25±0.03
59	2-nonanone	2-壬酮	C821556	C ₉ H ₁₈ O	735.41	1.38425	0.87±0.01	0.57±0.15	0.80±0.03
60	Ethyl maltol	乙基麦芽酚	C4940118	C ₇ H ₈ O ₃	930.162	1.65051	0.33±0.05	0.31±0.06	0.23±0.27
61	2-Acetylpyrrole	2-乙酰基吡咯	C1072839	C ₆ H ₅ NO	640.005	1.118	0.15±0.02	0.21±0.02	0.28±0.10
62	Allylpropyl sulfide	烯丙基二硫化物	C2486731	C ₆ H ₁₂ S	714.909	1.19289	0.13±0.02	0.10±0.01	0.29±0.02
63	Diethyl disulfide	二乙基二硫醚	C110816	C ₆ H ₁₀ S ₂	380.111	1.12487	0.08±0.01	0.08±0.01	0.15±0.00
64	2-acetylpyrazine	2-乙酰基吡嗪	C22047252	C ₆ H ₈ N ₂ O	558.591	1.22367	4.29±0.04	4.32±0.02	0.34±0.05
65	(E)-hept-2-enal	(E)-2-庚烯醛	C18829555	C ₆ H ₁₂ O	438.009	1.64886	1.27±0.04	1.69±0.11	1.78±0.08
66	Citronellyl acetate	乙酸香茅酯	C1508455	C ₁₂ H ₂₂ O ₂	1259.135	1.4513	1.07±0.24	1.14±0.07	1.34±0.05
67	Ethanone, 1-(2-pyridinyl)-	2-乙酰基吡啶	C1122629	C ₇ H ₇ NO	525.662	1.10495	0.16±0.00	0.12±0.00	0.35±0.02
68	3-Methyl-3-butien-1-ol	3-甲基-3-丁烯-1-醇	C763326	C ₆ H ₁₀ O	195.837	1.27437	0.20±0.01	0.29±0.05	0.25±0.03
69	N-buty1 acetate	乙酸丁酯	C123864	C ₆ H ₁₂ O ₂	253.912	1.22408	0.03±0.01	0.05±0.01	0.04±0.00
70	Methyl isobutyl ketone	4-甲基-2-戊酮	C108101	C ₆ H ₁₂ O	196.263	1.18098	0.20±0.03	0.31±0.01	0.23±0.02
71	2-Butenoic acid hexylester	2-丁烯酸己酯	C19089920	C ₁₀ H ₁₈ O ₂	1123.312	1.47788	0.54±0.04	0.58±0.05	0.68±0.13
72	Maltol	甲基麦芽酚	C118718	C ₈ H ₈ O ₃	751.521	1.21931	0.29±0.00	0.20±0.02	0.11±0.00
73	2-Hexylfuran	2-庚基呋喃	C3777717	C ₁₁ H ₁₈ O	924.336	1.41149	0.14±0.02	0.12±0.01	0.17±0.09
74	Guaiacol	愈创木酚	C90051	C ₇ H ₈ O ₂	612.592	1.12174	0.08±0.00	0.10±0.00	0.14±0.00
75	Butyl sulfide	二丁基硫醚	C544401	C ₈ H ₁₈ S	688.495	1.28393	0.12±0.01	0.13±0.00	0.12±0.01
76	Ethyl2-hydroxypropanoate	乳酸乙酯	C97643	C ₅ H ₁₀ O ₃	250.908	1.52715	0.05±0.00	0.05±0.00	0.06±0.01

参考文献:

- [1] LIU B B, ZHANG J F, SHI Y C, et al. Complete chloroplast genome of *Toona sinensis* (Meliaceae), a goliptious ‘tree vegetables’[J]. Mitochondrial DNA Part B,2019,4(2):3025-3026. DOI: 10.1080/23802359.2019.1666664.
- [2] 李辉尚,曲春红,王晓东,等. 2018年中国蔬菜市场形势分析与后市展望[J]. 农业展望, 2019, 15(1): 16-21. DOI:CNKI:SUN:NYZW.0.2019-01-005.
- [3] LEO M D, MILELLA L, BRACA A, et al. Cedrela and Toona genera: a rich source of bioactive limonoids and triterpenoids[J]. Phytochemistry Reviews, 2018, 17(4): 751-783. DOI:10.1007/s11101-018-9557-1.
- [4] FU Y H, XIE Y T, GUO J M, et al. Limonoids from the fresh young leaves and buds of *Toona sinensis* and their potential neuroprotective effects[J]. Journal of Agricultural and Food Chemistry, 2020, 68(44): 12326-12335. DOI:10.1021/acscjafc.0c06352.
- [5] XU W J, LI J-H, ZHAO MM, et al. Toonasindiyne A-F, new polyacetylenes from *Toona sinensis* with cytotoxic and anti-inflammatory activities[J]. Fitoterapia, 2020, 146. DOI:10.1016/j.fitote.2020.104667.
- [6] CAO J J, LV Q Q, ZHANG B, et al. Structural characterization and hepatoprotective activities of polysaccharides from the leaves of *Toona sinensis* (A. Juss) Roem[J]. Carbohydrate Polymers, 2019, 212:89-101. DOI:10.1016/j.carbpol.2019.02.031.
- [7] 刘常金,张杰,周争艳,等. GC-MS 分析比较 3 个特产香椿品种的挥发性成分[J]. 食品科学, 2013, 34(20): 261-267. DOI: 10.7506/spkx1002-6630-201320055.
- [8] DUAN Z L, DONG S L, GAO Y W, et al. Geographical origin identification of two salmonid species via flavor compound analysis using headspace-gas chromatography-ion mobility spectrometry combined with electronic nose and tongue [J]. Food Research International, 2021,145: 110385-110385. DOI:10.1016/J.FOODRES.2021.110385.
- [9] HE W, WEN H, FANG R, et al. Application of GC-IMS in detection of food flavor substances[J]. IOP Conference Series: Earth and Environmental Science, 2020, 545(1): 1-7. DOI:10.1088/1755-1315/545/1/012030.
- [10] 史冠莹,赵丽丽,王晓敏,等. 红油香椿生长期主要活性物质及挥发性成分动态变化规律[J]. 食品科学, 2022, 43(2): 276-284. DOI:10.7506/spkx1002-6630-20210112-125.
- [11] 郭森,惠国华,等. 基于电子鼻与非线性特征提取建模的猪肉鲜度快速分析方法[J]. 中国食品学报, 2016, 16(6): 218-224. DOI:10.16429/j.1009-7848.2016.06.029.
- [12] DANDAN D, YINGQUN N, JIE S, et al. Characterization of specific volatile components in braised pork with different tastes by SPME-GC/MS and electronic nose[J]. Journal of Food Processing and Preservation, 2021, 45(5): 1-14. DOI:10.1111/JFPP.15492.
- [13] 蒋鑫妹. 电子鼻技术在欧李催熟检测中应用研究[D]. 长春:吉林农业大学, 2021: 24-26. DOI:10.27163/d.cnki.gjlnu.2021.000377.
- [14] 李俊杰,徐元昊,陈梦娟,等. 手筑茯砖茶加工过程中挥发性组分变化分析[J]. 食品科学,2020,41(24): 144-154. DOI:10.7506/spkx1002-6630-20191226-316.
- [15] YANG C, YE Z, MAO L P, et al. Analysis of volatile organic compounds and metabolites of three cultivars of asparagus (*Asparagus officinalis* L.) using E-nose, GC-IMS, and LC-MS/MS[J]. Bioengineered,2022,13(4): 8866-8880. DOI:10.1080/21655979.2022.2056318.
- [16] 郭家刚,杨松,丁思年,等. 基于气相离子迁移谱的不同产地生姜挥发性有机物指纹图谱分析[J]. 食品科学,2021,42(24): 236-241. DOI:10.7506/spkx1002-6630-20201127-285.
- [17] 刘丽丽,杨辉,荆雄,等. 基于 GC-IMS 和电子鼻技术分析贮酒容器对凤香型白酒香气成分的影响[J]. 食品科学, 2022, 43(4): 257-263. DOI:10.7506/spkx1002-6630-20210203-062.

- [18] 杜晓兰, 杨文敏, 黄永强, 等. 基于顶空气相离子迁移谱比较 3 种加工方式对番鸭肉挥发性风味物质的影响[J]. 食品科学, 2021, 42(24): 269-275. DOI:10.7506/spkx1002-6630-20210305-067.
- [19] NATALIE G, MARKUS B, DANIEL S, et al. Resolution-optimized headspace gas chromatography-ion mobility spectrometry (HS-GC-IMS) for non-targeted olive oil profiling [J]. Analytical and Bioanalytical Chemistry, 2017, 409(16): 3933-3942. DOI:10.1007/s00216-017-0338-2.
- [20] WANG X R, M R K, LI Y, et al. Untargeted and targeted discrimination of honey collected by *apis cerana* and *apis mellifera* based on volatiles using HS-GC-IMS and HS-SPME-GC-MS[J]. Journal of Agricultural and Food Chemistry, 2019, 67(4): 12144-12152. DOI:10.1021/acs.jafc.9b04438.
- [21] PAN W C, SOOTAWAT B, CHIARA S, et al. Characterization of the Flavor Profile of Bigeye Tuna Slices Treated by Cold Plasma Using E-Nose and GC-IMS[J]. Fishes, 2022, 7(1): 13-13. DOI:10.3390/FISHES7010013.
- [22] 杜萍, 陈振佳, 杨芳, 等. 基于顶空气相色谱-离子迁移谱技术的生咖啡豆快速鉴别方法[J]. 食品科学, 2019, 40(24): 228-233. DOI:10.7506/spkx1002-6630-20190429-386.
- [23] 蒋鹏飞, 高海东, 赵丽丽, 等. 不同采收期香椿茶发酵前后活性成分、降糖活性及其挥发性成分比较分析[J]. 食品科学, 2021, 42(2): 262-270. DOI:10.7506/spkx1002-6630-20200116-194.
- [24] 宋继敏, 贺志荣, 赵三虎, 等. 香椿叶黄酮提取工艺及其生物活性研究进展[J]. 食品工业, 2019, 40(11): 259-262. DOI:CN-KI:SUN:SPGY.0.2019-11-070.
- [25] 徐芳菲, 冯惠柳, 李蕾, 等. 黑三七中总皂苷的含量测定 [J]. 人参研究, 2021, 33(5): 15-18. DOI:10.19403/j.cnki.1671-1521.2021.05.005.
- [26] BRUNO S, EDRADA L E, DA R A, et al. Effect of the environment on the secondary metabolic profile of *Tithonia diversifolia*: a model for environmental metabolomics of plants[J]. Scientific Reports, 2016, 6(1): 1. DOI:10.1038/srep29265.
- [27] 徐文燕, 高微微, 何春年, 等. 环境因子对植物黄酮类化合物生物合成的影响[J]. 世界科学技术-中医药现代化, 2006, 8(6): 68-72. DOI:10.3969/j.issn.1674-3849.2006.06.016.
- [28] 杨林林, 张涛, 杨利民, 等. 人参叶片中人参皂苷含量、关键酶基因表达和生态因子的相关性分析[J]. 华南农业大学学报, 2018, 39(3): 39-47. DOI: 10.7671/j.issn.1001-411X.2018.03.007.
- [29] 王晓敏, 史冠莹, 王赵改, 张乐, 程菁菁, 蒋鹏飞, 赵丽丽, 王旭增. 不同产地香椿抗氧化活性及挥发性成分的差异分析[J]. 现代食品科技, 2020, 36(7): 271-281. DOI:10.13982/j.mfst.1673-9078.2020.7.0008.
- [30] LIN S H, CHEN C K, LUO H X, et al. The combined effect of ozone treatment and polyethylene packaging on postharvest quality and biodiversity of *Toona sinensis* (A.Juss.) M.Roem[J]. Postharvest Biology and Technology, 2019, 154: D. DOI:10.1016/j.postharvbio.2019.04.010.
- [31] SCALONE G L, CUCU D, DE K N, et al. Influence of free amino acids, oligopeptides, and polypeptides on the formation of pyrazines in maillard model systems[J]. Journal of Agricultural and Food Chemistry, 2015, 63(22): 5364-72. DOI: 10.1021/acs.jafc.5b01129.
- [32] 舒垚, 刘玉兰, 姜元荣, 等. 鲜花生仁烘烤温度对花生酱风味和综合品质的影响[J]. 食品科学, 2020, 41(11): 28-35. DOI:10.7506/spkx1002-6630-20190519-210.
- [33] 夏季, 方勇, 王梦梦, 等. 不同发酵处理对香菇泡菜质构及风味物质的影响[J]. 食品科学, 2019, 40(20): 171-177. DOI:10.7506/spkx1002-6630-20190416-208.
- [34] ZHAI X T, GRANVOGL M. Michael, et al. Characterization of the key aroma Compounds in two differently dried *Toona sinensis* (A. Juss) Roem. by means of the molecular sensory science concept[J]. Journal of Agricultural and Food Chemistry, 2019, 67(35): 9895-9894. DOI:10.1021/acs.jafc.8b06656.

- [35] YANG W X, KEITH R C, LIU Y P, et al. Characterization of typical potent odorants in raw and cooked *Toona sinensis* is (A. Juss.) M. Roem. by instrumental-sensory analysis techniques[J]. Food Chemistry, 2018,282: 153-163. DOI:10.1016/j.foodchem.2018.12.112.
- [36] 赵铭洋, 王知斌, 孙延平, 等. 大蒜中的有机硫化物及其生物活性研究进展[J]. 食品与药品, 2021, 23(6): 565-571. DOI:10.3969/j.issn.1672-979X.2021.06.018.
- [37] 孙晓健. 香椿挥发性有机硫化物的呈味特性研究[D]. 天津:天津科技大学, 2019: 38-42. DOI:10.27359/d.cnki.gtqgu.2019.000134.
- [38] 刘胜男, 刘云锋, 曹荣, 等. 加工方式对玉筋鱼干风味的影响[J]. 食品科学, 2021, 42(20): 167-172. DOI:10.7506/spkx1002-6630-20201019-166.